

· 基础研究 ·

# 丹参酮合成相关的候选基因 *CYP76AK5* 克隆及生物信息学分析<sup>△</sup>

浦香东, 王丽芝<sup>1\*</sup>

(天津中医药大学中药学院, 天津 300193)

**[摘要]** 目的: 基于丹参基因组和转录组筛选、克隆及分析丹参酮合成途径候选的 CYP450 编码基因。方法: 设计引物克隆 *SmCYP76AK5* 编码基因, 通过 MEGA 软件构建系统进化树并结合实时定量 PCR 分析其在根不同组织(周皮、韧皮部、木质部)、根、茎、叶、花中的差异表达; 最后利用在线生物信息学工具分析其理化性质, 预测其二级结构、保守结构域等。结果: 系统进化树分析表明 *SmCYP76AK5* 属于 CYP71clan; 基因差异表达显示 *SmCYP76AK5* 在根周皮中表达最高, 与丹参酮的合成和积累相一致。结论: 预测丹参 *SmCYP76AK5* 参与丹参酮的生物合成。

**[关键词]** 丹参; 丹参酮; 生物合成; *SmCYP76AK5*; 差异表达

## Cloning and Bioinformatic Analysis of *CYP76AK5* Related to Tanshinone Biosynthesis in *Salvia miltiorrhiza*

PU Xiangdong<sup>1</sup>, WANG Lizhi<sup>1\*</sup>

(School of Chinese Materia Medica, Tianjin University of Traditional Chinese Medicine, Tianjin 300193, China)

**[Abstract]** **Objective:** The candidate CYP450 gene related to tanshinone biosynthesis was selected and cloned based on genome-wide strategy in *Salvia miltiorrhiza*. **Methods:** The specific primers were designed to clone the *SmCYP76AK5* gene. The phylogenetic tree was constructed by MEGA software. The different expression of *SmCYP76AK5* in periderm, phloem, xylem, root, stem, leaf and flower was detected by real-time quantitative PCR. The physical and chemical properties, secondary structure, conserved domain were analyzed by a series of bioinformatic tools. **Results:** The phylogenetic analysis showed that *SmCYP76AK5* belongs to CYP71clan. The expression of *SmCYP76AK5* was the highest in periderm, in accordance with the synthesis and accumulation of tanshinone. **Conclusion:** *SmCYP76AK5* was predicted to be involved in tanshinone production in *S. miltiorrhiza*.

**[Keywords]** *Salvia miltiorrhiza*; tanshinone; biosynthesis; *SmCYP76AK5*; different expression

doi:10.13313/j.issn.1673-4890.2017.8.011

药用植物次生代谢产物是天然药物的主要来源, 萜类化合物在植物天然产物中种类最多, 如能够有效治疗癌症的紫杉醇和治疗疟疾的青蒿素等。丹参为唇形科鼠尾草属多年生草本植物丹参 *Salvia miltiorrhiza* Bunge 的干燥根和根茎, 在心脑血管疾病诊疗中效果显著, 丹参酮类化合物是其重要的活性成分之一<sup>[1-5]</sup>。以丹参酮为主要成分的复方丹参滴丸于 2016 年 3 月 16 日顺利提前完成美国食品和药品管理局 (Food and Drug Administration, FDA) 三期临床试

验, 届时将成为首例获得美国 FDA 认证的复方中药。由于其重要的药理价值及资源需求, 丹参酮生源途径的解析得到国内外的广泛关注。丹参作为药用模式植物, 对其丹参酮生物合成途径分子机制的解析具有重要的科学意义和应用价值<sup>[6]</sup>。

丹参酮上游生物合成途径与其他植物萜类合成途径较一致, 具有共同的萜类合成前体, 异戊烯基焦磷酸 (Isopentenyl diphosphate, IPP), 由甲羟戊酸 (MVA) 和甲基赤藓醇 4-磷酸 (MEP) 途径合成而

<sup>△</sup> [基金项目] 国家自然科学基金项目 (81603221); 天津市自然科学基金项目 (16JCQNJC09700); 天津市高等学校科技发展基金计划项目 (20120202/20140209); 天津市大学生创新创业训练计划 (201610063003)

\* [通信作者] 王丽芝, 讲师, 研究方向: 药用植物分子生物学; Email: Lzhwang\_2009@163.com

来<sup>[7-8]</sup>。MVA 途径由 6 个关键酶 (AACT、HMGS、HMGR、MK、PMK、MDC) 依次催化乙酰辅酶 A (Acetyl-CoA) 合成 IPP; MEP 途径由 7 个关键酶 (DXS、DXR、MCT、CMK、MDS、HDS、HDR) 逐步催化 3-磷酸甘油醛 (Glyceraldehyde-3-phosphate, G3P) 和丙酮酸 (Pyruvate) 合成 IPP; 萜类前体 IPP 在异戊烯基焦磷酸异构酶 (Isopentenylidiphosphateisomerase, IDI) 的作用下可逆催化二甲基丙烯基焦磷酸 (Dimethylallyldiphosphate, DMAPP) 的合成; 然后在牻牛儿基牻牛儿基焦磷酸合成酶 (Geranylgeranyl diphosphatesynthase, GGPPS) 的催化作用下聚合 IPP 和 DMAPP 形成二萜前体牻牛儿基牻牛儿基焦磷酸 (Geranylgeranyl diphosphate, GGPP); 最后在关键酶 SmCPS 和 SmKSL 的作用下催化 GGPP 合成次丹参酮二烯 (Miltiradiene), 其作为丹参酮合成的前体物质, 在一系列 CYP450s 的催化作用下生成丹参酮类化合物<sup>[9-12]</sup>。

细胞色素 P450 (CYP450) 是一类含亚铁血红素的酶, 在植物中 CYP 超家族基因占蛋白质编码基因的 1%, 具有广泛的底物选择性, 目前植物中已知的底物有数百种, 其催化活性多而复杂, 如羟基的氧化和过氧化作用<sup>[13-15]</sup>。丹参酮前体次丹参酮二烯在丹参中通过一系列反应由烯炔前体形成, 在不同的 CYP450s 作用下生成多样的丹参酮类化合物, 已知的有: SmCYP76AH1 催化次丹参酮二烯合成铁锈醇 (Ferruginol); SmCYP76AH3 催化铁锈醇合成羟基化铁锈醇 (11-hydroxy ferruginol)、柳杉酚 (Sugiol)、羟基化柳杉酚 (11-hydroxy ferruginol); SmCYP76AK1 催化二羟基铁锈醇 (11, 20-dihydroxy ferruginol) 和二羟基柳杉酚 (11, 20-dihydroxy sugiol) 的合成<sup>[16-19]</sup>。丹参酮的生物合成需要 CYP450s 参与, 本研究基于 Xu 等筛选的 33 个丹参根周皮显著高表达的 CYP450<sup>[12]</sup>, 进一步结合已发表的丹参全基因组及转录组信息, 筛选并克隆到可能参与丹参酮合成的 SmCYP76AK5, 系统分析其进化关系及差异表达, 并完成其理化性质、蛋白质二级结构以及三级结构的预测, 为下一步研究其功能, 实现丹参酮类化合物的体外生产或探索其体内代谢途径奠定基础<sup>[20-25]</sup>。

## 1 材料

丹参植物材料 (99-3) 来自中国医学科学院药用植物研究所。丹参根、茎、叶、花、根周皮、根韧皮部、根木质部均取自中国医学科学院药用植物研究所实验田。用于构建 CYP450 系统进化树的拟南

芥 (*Arabidopsis thaliana*) CYP450 氨基酸序列来自于 CYP450 数据库 (<http://drnelson.uthsc.edu/Ara-blinks.html>)。

## 2 方法

### 2.1 丹参酮合成候选 CYP450 基因的筛选及克隆

基于丹参基因组注释信息, 筛选出基因组上注释到的 CYP450, 统计其在周皮、韧皮部和木质部中的差异表达结果, 以  $\log_2 \text{ratio} \geq 1$  (绝对值)、FPKM > 10 为标准, 初步筛选候选的 CYP450。分别取丹参根的 3 个组织 (周皮、韧皮部和木质部) 以及丹参不同器官 (根、茎、叶、花) 为材料, 采用 QIAGEN RNeasy Plus Mini Kit (Cat. 74134) 试剂盒提取丹参根总 RNA, PrimeScript™ II 1st Strand cDNA Synthesis Kit (Cat. 6210A) 试剂盒合成一链 cDNA。不同组织的 RNA 样品混合作为模板用 Takara Ex Taq DNA 聚合酶对候选 CYP450 基因进行克隆, 引物 (5'-CGCAT-GCAAGTTTACATTCTCTC/3' RTTAAAGCTTGATAG-GAATAGCCC); 反应条件为: 94 °C 预变性 5 min, 然后进行 35 个循环 (94 °C 30 s, 65 °C 30 s, 72 °C 2 min), 循环结束后 72 °C 充分延伸 10 min, 10 °C 保温, 1% 琼脂糖凝胶电泳检测, 回收后连接 PMD-18T 载体测序。

### 2.2 候选 SmCYP450 基因的系统进化分析

将下载的拟南芥 CYP450s、已验证功能的丹参 SmCYP76AH1、SmCYP76AH3、SmCYP76AK1、与本研究筛选的 CYP450 的氨基酸序列进行比对, 采用 MEGA6 软件构建 NJ 系统进化树, bootstrap 选择重复 1000 次<sup>[26]</sup>。

### 2.3 候选 CYP450 基因在丹参不同组织器官的表达分析

采用 Primer Premier 6 软件进行 qPCR 引物设计原则如下: PCR 扩增子区域在 100 ~ 180 bp; Tm 值在 60 °C 左右; GC 含量在 45% ~ 55%。将扩增子区的序列 BLAST 比对到基因组序列, 选择特异性高的区段进行 PCR 扩增。2% 琼脂糖凝胶检测 PCR 扩增子大小、引物特异性以及引物二聚体。qPCR 引物序列如下 (5'-GCTTGCTCTCCACCAACTC, 3'-GGCT-TCTCCGACGTTTCATG)。实时定量 PCR 采用 ABI 7500 real-time PCR 检测系统, 参照 Takara 公司的 SYBR® Premix Ex Taq™ II (TliRNaseH Plus) qPCR 试剂 (Cat. RR820A) 使用说明, 选择丹参看家基因

*SmActin* 作为内参基因, 反应体系: 7.5  $\mu\text{L}$  SYBR Premix Ex Taq II (2  $\times$ ), 1.2  $\mu\text{L}$  Primers (F/R) ( $10 \mu\text{mol} \cdot \text{L}^{-1}$ ), 0.3  $\mu\text{L}$  ROX Reference Dye II (50  $\times$ ), 2  $\mu\text{L}$  DNA samples, 4  $\mu\text{L}$  RNase-free ddH<sub>2</sub>O, 反应条件: 预变性 95  $^{\circ}\text{C}$  30 s; 40 循环: 变性 95  $^{\circ}\text{C}$  5 s, 退火和延伸 60  $^{\circ}\text{C}$  34 s; 溶解曲线: 95  $^{\circ}\text{C}$  15 s, 60  $^{\circ}\text{C}$  1 min, 95  $^{\circ}\text{C}$  15 s; 每组反应设置 3 个技术重复。采用  $2^{-\Delta\Delta\text{Ct}}$  方法计算基因的相对表达; 采用 IBM SPSS 20 软件的一步法 ANOVA 分析多样品间的差异性,  $P < 0.05$ 、 $P < 0.01$  为差异有统计学意义, 采用 Pearson's correction test 检测基因共表达。

## 2.4 候选 CYP450 基因结构分析

基因编码蛋白的理化性质预测采用 ExPASy Proteomics Server 提供的在线工具 ProtParam (<http://www.expasy.ch/tools/protparam.html>); Predictprotein 在线预测蛋白的二级结构 (<https://www.predictprotein.org>); PFAM 预测 CYP450 保守结构域 (<http://pfam.xfam.org/search/batch>)。

## 3 结果

### 3.1 丹参酮合成候选 *SmCYP76AK5* 编码基因的筛选及克隆

丹参基因组共注释到 457 个 CYP450s, 根周皮 RNA-seq 分析显示 21% (96/457) 的 CYP450s 表达水平  $\text{FPKM} > 10^{[12]}$ , 本研究筛选出 1 个与丹参 *SmCPS1*、*SmKSL1* 和 *SmCYP76AH1* 共表达(周皮 > 韧皮部 > 木质部;  $\log_2 \text{ratio} \geq 1$ ;  $\text{FPKM} > 10$ ) 的 CYP450, 筛选出的 CYP450 命名为 *SmCYP76AK5*。比对丹参基因组发现 *SmCYP76AK5* 定位在 Scaffold12483, 基因长度为 1503 bp, 编码 500 个氨基酸, 由两个外显子组成。根据基因组注释结果设计 *SmCYP76AK5* 全长序列的引物进行体外克隆, 测序结果显示获得长度为 1503 bp 的编码基因, 与基因组注释完全一致, 基因序列上传美国国立生物技术信息中心 (NCBI), GenBank 登录号 KY807047。

### 3.2 候选 *SmCYP76AK5* 的系统进化分析

本研究下载来自拟南芥的 9 个 clan 的 273 条 CYP450 序列, 分别为 CYP71 clan、CYP72 clan、CYP97 clan、CYP86 clan、CYP85 clan、CYP74 clan、CYP51 clan、CYP711 clan、CYP710 clan, 从中筛选出 75 条拟南芥的 CYP450 序列与丹参中已被研究的 *SmCYP76AK1*、*SmCYP76AH1*、*SmCYP76AH3* 以及

丹参筛选到的 *SmCYP76AK5* 氨基酸序列进行比对后构建系统进化树, 结果显示 *SmCYP76AK5* 与 *SmCYP76AK1*、*SmCYP76AH1*、*SmCYP76AH3*、*AtCYP76C1*、*AtCYP76G1* 聚为一大枝, 属于 CYP71 clan, 与 *SmCYP76AK1* 聚在同一小枝属于 CYP76AK 亚家族, 如图 1 所示。同源性比对分析显示 *SmCYP76AK5* 与 *SmCYP76AK1*、*SmCYP76AH1*、*SmCYP76AH3* 的氨基酸序列同源性分别为 69%、48%、48%。

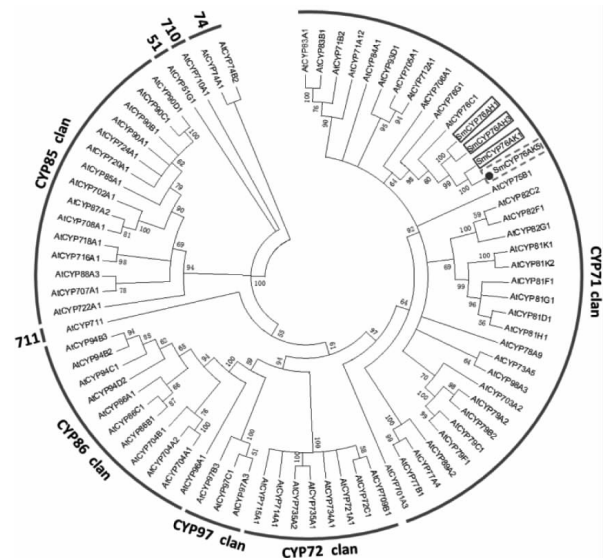
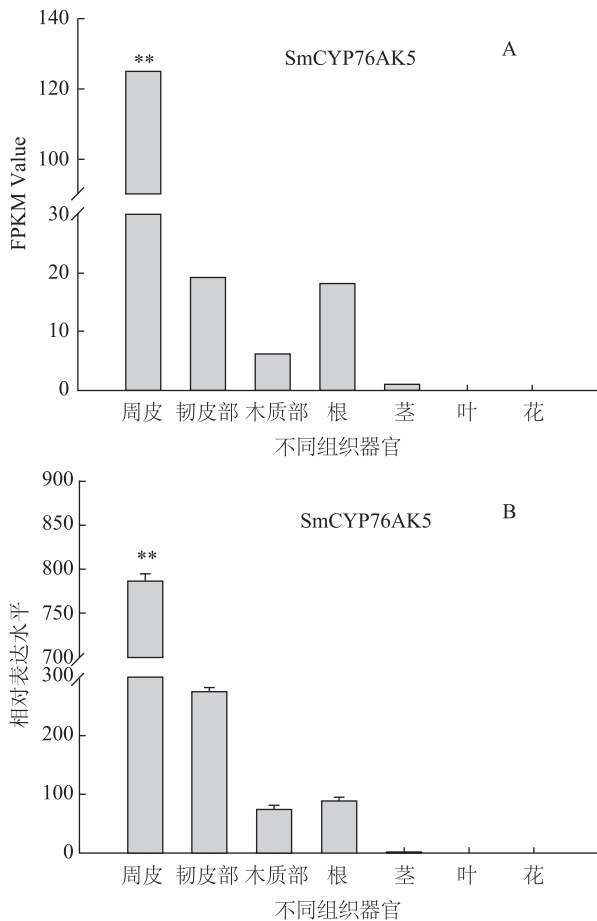


图 1 *SmCYP76AK5* 与丹参 CYP450s、拟南芥 CYP450s 的系统进化关系图

### 3.3 *SmCYP76AK5* 基因的差异表达研究

本研究对筛选的 *SmCYP76AK5* 在丹参根的 3 个组织(周皮、韧皮部和木质部)以及丹参不同器官(根、茎、叶、花)中的 RNA-seq 数据进行差异表达分析, 表达量由高到低依次为根周皮、根韧皮部、根木质部、茎、叶、花。根周皮的表达量 (FPKM) 是韧皮部的 6.5 倍。在叶和花器官中没有检测到 *SmCYP76AK5* 的表达, 但在根部其表达量明显升高, 这与丹参以根或根茎入药相符, 见图 2A。

根据克隆结果设计 qPCR 引物, 提取丹参根的 3 个组织(周皮、韧皮部和木质部)以及丹参不同器官(根、茎、叶、花)的 RNA, 反转录为 cDNA, 利用设计的 qPCR 引物进行 qPCR 分析, 其结果显示 *SmCYP76AK5* 的表达量由高到低依次为周皮、韧皮部、根、木质部、叶、茎、花, 与丹参转录组表达趋势基本一致, 并且与 *SmCPS1*、*SmKSL1* 呈共表达, 见图 2B。



注: A. *SmCYP76AK5* 在不同组织器官的转录组表达差异 (FPKM); B. *SmCYP76AK5* 在不同组织器官的 qPCR 表达分析;

\*\*  $P < 0.01$ 。

图2 *SmCYP76AK5* 基因在不同组织器官的表达模式

### 3.4 *SmCYP76AK5* 基因的结构特征

*SmCYP76AK5* 基因编码 500 个氨基酸, 利用 ExPASy Proteomics Server 的在线软件 ProtParam 对 *SmCYP76AK5* 氨基酸序列的理化性质进行预测, 推测该蛋白的分子式为  $C_{2536}H_{4006}N_{700}O_{705}S_{26}$ , 分子量是 56.4 kD, 等电点 PI 8.48, 带正电残基 (Arg + Lys) 为 57, 负电残基 (Asp + Glu) 为 53, 该蛋白的不稳定系数为 49.80, 脂肪系数为 93.04, 亲水性系数为 -0.151。二级结构在线预测结果表明 *SmCYP76AK5* 蛋白的二级结构中  $\alpha$ -螺旋占 50.00%,  $\beta$ -折叠占 8.80%, 无规卷曲占 41.2%。PFAM 预测 *SmCYP76AK5* 的保守结构域, 结果显示该基因编码的蛋白在 32-491 位点具有 CYP450 保守结构域 (PF00067.20)。

## 4 讨论

丹参酮作为二萜类化合物, 其骨架次丹参酮二

烯和铁锈醇的合成已被解析<sup>[9]</sup>, 然而到丹参酮的最终合成仍需一系列酶的氧化作用, 如氧化酶、脱氢酶等。本研究通过对于丹参基因组以及转录组数据库的分析, 验证 Xu 等对丹参酮合成相关 CYP450 的鉴定结果, 进一步筛选并克隆丹参酮生物合成下游途径的候选基因, 为丹参酮生源途径的解析提供参考。

CYP450 在修饰萜类骨架产生多种多样萜类化合物中发挥关键作用, 这些含血红素的酶通常将氧原子插入 C-H 键中, 使之成为能够被进一步转化的羟基。Boutanaev 等报道在真核植物中, 参与萜类化合物多样性的 CYP450 家族成员多属于 CYP71 clan<sup>[27]</sup>。在丹参中, 已鉴定 *SmCYP76AH1*、*SmCYP76AH3*、*SmCYP76AK1* 催化次丹参酮二烯合成铁锈醇、羟基化铁锈醇、柳杉酚、羟基化柳杉酚等丹参酮中间产物<sup>[16-17]</sup>, 均归类于 CYP71 clan 的 CYP76 亚家族。本研究首次克隆丹参 *SmCYP76AK5* 编码基因, 与拟南芥 CYP450 的系统进化分析显示其同属于 CYP71 clan 的 CYP76 亚家族。

Xu 等证实丹参根周皮是丹参酮合成和积累的主要部位, 丹参酮生物合成途径关键酶编码基因的表达在根及根周皮中显著高表达<sup>[12]</sup>。本研究通过转录组和 qPCR 揭示 *SmCYP76AK5* 编码基因与丹参酮合成途径关键酶编码基因的表达模式相一致, 与丹参酮在丹参不同组织器官中的含量呈正相关。基于此, 本研究提出 *SmCYP76AK5* 催化丹参酮合成的学术假设。

*SmCYP76AK5* 的功能机理仍需要进一步通过体外酶促反应和体内 RNAi 或过表达研究来证实, 本研究为丹参酮合成途径修饰酶编码基因的筛选提供参考, 为丹参酮生物合成途径的解析奠定基础。

## 参考文献

- [1] 国家药典委员会. 中华人民共和国药典[S]. 一部. 北京: 中国医药科技出版社, 2015.
- [2] Wang X, Morris-Natschke S L, Lee K H. New developments in the chemistry and biology of the bioactive constituents of Tanshen[J]. MedRes Rev, 2007, 27(1): 133-148.
- [3] Dong Y, Morris-Natschke S L, Lee K H. Biosynthesis, total syntheses, and antitumor activity of tanshinones and their analogs as potential therapeutic agents[J]. Nat Prod Rep, 2011, 28(3): 529-542.

- [4] Jackson A J, Hershey D M, Chesnut T, et al. Biochemical characterization of the castor bean ent-kaurene synthase (-like) family supports quantum chemical view of diterpene-cyclization[J]. *Phytochemistry*, 2014, 103:13-21.
- [5] Gershenzon J, Dudareva N. The function of terpene natural products in the natural world[J]. *Nat Chem Biol*, 2007, 3: 408-414.
- [6] 宋经元, 罗红梅, 李春芳, 等. 丹参药用模式植物研究探讨[J]. *药学学报*, 2013, 48(7):1099-1106.
- [7] Ma Y, Yuan L, Wu B, et al. Genome-wide identification and characterization of novel genes involved in terpenoid biosynthesis in *Salvia miltiorrhiza* [J]. *J Exp Bot*, 2012, 63: 2809-2823.
- [8] Cui G, Duan L, Jin B, et al. Functional divergence of diterpene synthases in the medicinal plant *Salvia miltiorrhiza* Bunge[J]. *Plant Physiol*, 2015, 169:1607-1618.
- [9] Zhou Y J, Gao W, Rong Q, et al. Modular pathway engineering of diterpenoid synthases and the mevalonic acid pathway for miltiradiene production[J]. *J Am Chem Soc*, 2012, 134(6):3234-3241.
- [10] Peters R J. Two rings in them all: the labdane-related diterpenoids[J]. *Nat Prod Rep*, 2010, 27:1521-1530.
- [11] Kitaoka N, Lu X, Yang B, et al. The application of synthetic biology to elucidation of plant mono-, sesqui-, and diterpenoid metabolism[J]. *MolPlant*, 2015, 8:6-16.
- [12] Xu Z, Peters R J, Weirather J, et al. Full-length transcriptome sequences and splice variants obtained by a combination of sequencing platforms applied to different root tissues of *Salvia miltiorrhiza* and tanshinone biosynthesis[J]. *Plant J*, 2015, 82(6):951-61.
- [13] Chen H, Wu B, Nelson D R, et al. Computational identification and systematic classification of novel cytochrome P450 genes in *Salvia miltiorrhiza*[J]. *PLoSOne*, 2014, 9:28.
- [14] Kaspera R, Croteau R. Cytochrome P450 oxygenases of Taxol biosynthesis[J]. *Phytochem Rev*, 2006, 5:433-444.
- [15] Pateraki I, Heskes A M, Hamberger B. Cytochromes P450 for terpenefunctionalisation and metabolic engineering[J]. *AdvBiochemEng Biot*, 2015, 148:107-139.
- [16] Guo J, Zhou Y J, Hillwig M L, et al. CYP76AH1 catalyzes turnover of miltiradiene in tanshinones biosynthesis and enables heterologous production of ferruginol in yeasts [J]. *Proc Natl Acad Sci USA*, 2013, 110:12108-12113.
- [17] Guo J, Ma X, Cai Y, Ma Y, et al. Cytochrome P450 promiscuity leads to a bifurcating biosynthetic pathway for tanshinones[J]. *New Phytol*, 2016, 210(2):525-534.
- [18] Zi J, Peters R J. Characterization of CYP76AH4 clarifies phenolic diterpenoid biosynthesis in the Lamiaceae[J]. *Org Biomol Chem*, 2013, 11:7650-7652.
- [19] Kai G, Xu H, Zhou C, et al. Metabolic engineering tanshinone biosynthetic pathway in *Salvia miltiorrhiza* hairy root cultures[J]. *Metab Eng*, 2011, 13:319-327.
- [20] Xu H, Song J, Luo H, et al. Analysis of the Genome Sequence of the Medicinal Plant *Salvia miltiorrhiza*[J]. *MolPlant*, 2016, 9(6):949-952.
- [21] Luo H, Zhu Y, Song J, et al. Transcriptional data mining of *Salvia miltiorrhiza* in response to methyl jasmonate to examine the mechanism of bioactive compound biosynthesis and regulation[J]. *Plant Physiol*, 2014, 152:241-255.
- [22] Renault H, Bassard J E, Hamberger B, et al. Cytochrome P450-mediated metabolic engineering: current progress and future challenges[J]. *Curr Opin Plant Biol*, 2014, 19:27-34.
- [23] Wang J W, Wu J Y. Tanshinone biosynthesis in *Salvia miltiorrhiza* and production in plant tissue cultures[J]. *Appl Microbiol B*, 2010, 88:437-449.
- [24] 李滢, 孙超, 罗红梅, 等. 基于高通量测序 454 GS FLX 的丹参转录组学研究[J]. *药学学报*, 2010, 45(4):524-529
- [25] Xu Z, Ji A, Zhang X, et al. Biosynthesis and Regulation of Active Compounds in Medicinal Model Plant *Salvia miltiorrhiza*[J]. *Chinese Herbal Medicines*, 2016, 8(1):3-11.
- [26] Castillo D A, Kolesnikova M D, Matsuda S P. An effective strategy for exploring unknown metabolic pathways by genome mining [J]. *J Am Chem Soc*, 2013, 135(15):5885-94.
- [27] Boutanaev A M, Moses T, Zi J, et al. Investigation of terpene diversification across multiple sequenced plant genomes[J]. *Proc Natl Acad Sci USA*, 2014, E:81-88.

(收稿日期 2017-03-28)